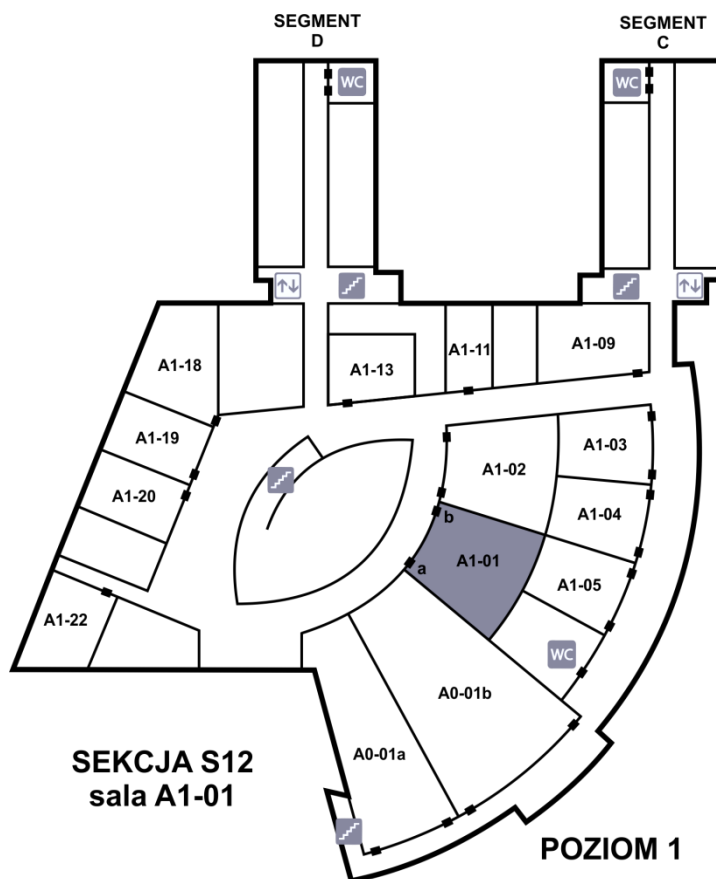


**program obrad sekcji S12:  
INŻYNIERIA MATERIAŁÓW**



**PRZEWODNICZĄCY SEKCJI:  
Marta Radecka (AGH)  
Ewa Serwicka-Bahranowska (IKiFP PAN)**

## ŚRODA 19 września 2018

### SESJA PRZEDPOŁUDNIOWA 11:00-13:00

PRZEWODNICZĄCY SESJI: Paweł Pasierb, Marta Radecka

11:00-11:30	S12WS01	<b>Wyzwania i możliwości w projektowaniu ogniw Li-ion i Na-ion dla pojazdów elektrycznych i wielkoskalowych magazynów energii elektrycznej</b> Janina Molenda
11:30-12:00	S12WS02	<b>Nanokryształy Cu-Fe-S jako nowe materiały termoelektryczne</b> A. Proń, P. Bujak, G. Gąbka, R. Zybala, J. Żukrowski, M. Przybylski
12:00-12:15	S12KS01	<b>Samooorganizacja promezogenicznych nanocząstek półprzewodnikowych dla zastosowań fotowoltaicznych</b> Sylvia Parzyszek, Monika Góra, Wiktor Lewandowski
12:15-12:30	S12KS02	<b>Mikrostruktura i przewodność jonowa elektrolitów w układzie ZrO<sub>2</sub>-Al<sub>2</sub>O<sub>3</sub> do zastosowania w stałotlenkowych ogniwach paliwowych typu IT-SOFC</b> Justyna Pleśniak, Jan Wyrwa, Małgorzata Dziubaniuk, Mirosław Bućko, Tomasz Brylewski
12:30-12:45	S12KS03	<b>Nowe platformy plazmoneczne</b> Beata Grobelna, Anna Synak, Elżbieta Szczepańska, Piotr Bojarski
12:45-13:00	S12KS04	<b>Wpływ modyfikacji powierzchni na właściwości jednowymiarowych nanokryształów selenku cynku domieszkowanego srebrem (ZnSe:Ag)</b> Svitlana Sovinska, Dariusz Bogdał, Katarzyna Matras-Postołek

### SESJA POPOŁUDNIOWA 15:00-17:45

PRZEWODNICZĄCY SESJI: Adam Proń, Ewa Serwicka-Bahranowska

15:00-15:30	S12WS03	<b>Materiały hybrydowe poliuretan/POSS</b> Krzysztof Pielichowski
15:30-16:00	S12WS04	<b>Reaktywne żele polimerowe w zastosowaniach katalitycznych</b> Agnieszka Bukowska
16:00-16:15	S12KS05	<b>Wpływ dodatku mikrosfer polisiloksanowych na barierowe i mechaniczne właściwości papieru</b> Piotr Pospiech, Konrad Olejnik, Agnieszka Wysocka-Robak, Urszula Mizerska, Joanna Zakrzewska
16:15-16:30	S12KS06	<b>Dynamiczne ciekłokrystaliczne nanomateriały złożone z organiczno-nieorganicznych nanocząstek złota oraz tlenku żelaza</b> Sylvia Polakiewicz, Agnieszka Sobiepanek, Michał Wójcik
16:30-16:45	S12KS07	<b>Właściwości aktywnych optycznie polisilseskwioksanów</b> Maria Nowacka, Anna Kowalewska
16:45-17:00	S12KS08	<b>Lignina krafta aktywowana cieczami jonowymi jako komponent zaawansowanych materiałów hybrydowych</b> Łukasz Kłapiszewski, Tadeusz J. Szalaty, Teofil Jesionowski
17:00-17:15	S12KS09	<b>Nowe włókna polipropylenowe modyfikowane nanorurkami węglowymi</b> Janusz Fabia, Anna Brzozowska-Stanuch, Andrzej Gawłowski, Tadeusz Graczyk, Wojciech Stanuch

17:15-17:30	<b>S12KS10</b>	<b>Nanokompozyty PLA z dodatkiem cyklosiloksanów</b> <u>Anna Kowalewska</u> , Agata S. Herc, Joanna Bojda
17:30-17:45	<b>S12KS11</b>	<b>Projektowanie kauczuków syntetycznych dla opon nowej generacji</b> Radosław Kozak

## CZWARTEK 20 września 2018

### SESJA PRZEDPOŁUDNIOWA 11:00-13:00

**PRZEWODNICZĄCY SESJI:** Krzysztof Pielichowski, Marta Radecka

11:00-11:30	<b>S12WS05</b>	<b>Nanostruktury dwuwymiarowe: synteza, charakterystyka i potencjał aplikacyjny</b> <u>Beata Zielińska</u> , Karolina Wenelska, Xuecheng Chen, Ewa Mijowska, Ryszard Kaleńczuk
11:30-12:00	<b>S12WS06</b>	<b>Wysokotemperaturowe ceramiczne przewodniki protonowe – możliwości poprawy właściwości</b> Paweł Pasierb
12:00-12:15	<b>S12KS12</b>	<b>Heterozłącza półprzewodnikowe TiO<sub>2</sub>/MoS<sub>2</sub> dla fotoelektrochemii</b> <u>Joanna Banaś</u> , Anita Treczek-Zajac, Marta Radecka
12:15-12:30	<b>S12KS13</b>	<b>Otrzymywanie i właściwości materiałów kompozytowych na osnowie BaCe<sub>0.9</sub>Y<sub>0.1</sub>O<sub>3-δ</sub></b> <u>Katarzyna Silarska</u> , Paweł Pasierb
12:30-12:45	<b>S12KS14</b>	<b>Fotokatody na bazie związków miedzi dla zastosowań fotoelektrochemicznych</b> <u>Anna Kusior</u> , Marta Radecka
12:45-13:00	<b>S12KS15</b>	<b>Otrzymywanie nanokryształów CZTS w polu promieniowania mikrofalowego</b> <u>Adam Żaba</u> , Dariusz Bogdał, Katarzyna Matras-Postołek

### SESJA POPOŁUDNIOWA 15:00-18:00

**PRZEWODNICZĄCY SESJI:** Beata Zielińska, Ewa Serwicka-Bahranowska

15:00-15:30	<b>S12WS07</b>	<b>Nowoczesne technologie stosowane do kształtowania mikrostruktury i właściwości tytanu i jego stopów</b> Halina Garbacz
15:30-16:00	<b>S12WS08</b>	<b>Modelowanie właściwości powierzchniowych nanocząstek srebra dla zastosowań analitycznych i medycznych</b> <u>Magdalena Oćwieja</u> , Anna Barbasz, Natalia Piergies
16:00-16:15	<b>S12KS16</b>	<b>Wpływ cienkich warstw Y<sub>2</sub>O<sub>3</sub>, CeO<sub>2</sub>, HfO<sub>2</sub> i ZrO<sub>2</sub> na żaroodporność folii stopu FeCrAl</b> Jacek G. Chęćmanowski
16:15-16:30	<b>S12KS17</b>	<b>Nowe pochodne karbazolu jako luminofory w organicznych diodach fotoluminescencyjnych</b> <u>Małgorzata Zagórska</u> , Renata Rybakiewicz, Martyna Charyton, Roman Gańczarczyk, Gabriela Wiosna-Sałyga, Marzena Banasiewicz, Adam Proń

16:30-16:45	<b>S12KS18</b>	<b>Elektroaktywne pochodne ditenopirołu – synteza, badanie właściwości i zastosowanie</b> <u>Renata Rybakiewicz</u> , Łukasz Skórka, Kamila Łepicka, Małgorzata Zagórska
16:45-17:00	<b>S12KS19</b>	<b>Nanocząstki metali szlachetnych – skuteczne i bezpieczne wymiatacze reaktywnych form tlenu?</b> <u>Mariusz Pietrzak</u> , Polina Ivanova
17:00-17:15	<b>S12KS20</b>	<b>Sustainable materials with superior adsorption properties obtained from vermiculites</b> <u>Agnieszka Węgrzyn</u> , Wojciech Stawiński
17:15-17:30	<b>S12KS21</b>	<b>Szklą ołowiowo-fosforanowe – synteza, budowa i właściwości</b> <u>Marta Sołtys</u> , Lidia Żur, Joanna Pisarska, Tomasz Goryczka, Wojciech A. Pisarski
17:30-17:45	<b>S12KS22</b>	<b>Porównanie właściwości utleniających nadsiarczanów metali (Na, K, Rb, Cs)</b> <u>Konrad Kitka</u> , Wojciech Hyk
17:45-18:00	<b>S12KS23</b>	<b>Diagramy stężenia defektów punktowych dla magnetytu <math>Fe_{3\pm\delta}O_4</math> czystego i domieszkowanego innymi kationami</b> Andrzej Stokłosa

**SESJA PLAKATOWA II**  
**CZWARTEK 20 września 2018**  
**18:00-19:00, hol A1**

<b>S12P01</b>	<b>Cienkie warstwy otrzymywane z wodorooalkoksycjanów w selektywnej polimeryzacji plazmowej inicjowanej atomowym wodorem</b> <u>Agnieszka Walkiewicz-Pietrzykowska</u> , Paweł Uznański
<b>S12P02</b>	<b>DIY: Monodispersyjna krzemionka Stöbera z trzech prostych składników - bilans zysków i strat zmniejszenia rygoru syntetycznego - 50-lecie oryginalnej syntezy</b> Łukasz Tabisz, <u>Bogusława Łęska</u>
<b>S12P03</b>	<b>Uproszczona ekstrakcja siarczanowych policukrów z alg słodkowodnych gatunku <i>Cladophora glomerata</i></b> Zuzanna Piotrowicz, Łukasz Tabisz, <u>Bogusława Łęska</u>
<b>S12P04</b>	<b>Otrzymywanie i charakterystyka kompozytów <math>TiO_2/Cu_xO</math></b> <u>Joanna Banaś</u> , Paulina Zubrzycka, Anna Kusior, Marta Radecka
<b>S12P05</b>	<b>The influence of sintering parameters on thermoelectric properties of Zn-doped <math>Cu_{12}Sb_4S_{13}</math> tetrahedrite</b> <u>Artur Kosonowski</u> , Raju Chetty, Krzysztof T. Wojciechowski
<b>S12P06</b>	<b>Structural investigation of Al and Fe modified SiOC glasses</b> <u>Piotr Jeleń</u> , Magdalena Gawęda, Maciej Bik, Elżbieta Długoń, Maciej Sitarz
<b>S12P07</b>	<b>Wpływ zawartości sulfonowych grup funkcyjnych na parametry strukturalne i teksturalne mezoporowatych materiałów krzemionkowych typu MCM-41</b> <u>Sylwia Jarmolińska</u> , Agata Wawrzyńczak, Izabela Nowak
<b>S12P08</b>	<b>Synteza i charakterystyka fizykochemiczna uporządkowanych materiałów krzemionkowych sfunkcjonalizowanych grupami organicznymi oraz atomami platyny</b> <u>Sylwia Jarmolińska</u> , Agata Wawrzyńczak, Izabela Nowak

<b>S12P09</b>	<b>Otrzymywanie nanocząstek palladu z kompleksów (bis)amino karboksylanowych</b> <u>Joanna Zakrzewska, Paweł Uznański</u>
<b>S12P10</b>	<b>Skład chemiczny stali żaroodpornych, a ich spawalność</b> <u>Bartosz Grzelachowski, Agnieszka Malinowska, Angelika Kamizela, Mariusz Urbaniak, Alicja Wzorek, Barbara Gawdzik</u>
<b>S12P11</b>	<b>Próby wykorzystania metody aerozolowej do amonolizy wybranych związków krzemooorganicznych</b> <u>Katarzyna Kapusta, Cezary Czosnek, Honorata Osip, Jerzy F. Janik</u>
<b>S12P12</b>	<b>Wstępne mielenie proszków metali (2Cu+Zn+Sn) przed mechanochemiczną reakcją z siarką S w syntezie półprzewodnikowego kesterytu Cu<sub>2</sub>ZnSnS<sub>4</sub></b> <u>Katarzyna Kapusta, Mariusz Drygaś, Jerzy F. Janik</u>
<b>S12P13</b>	<b>Otrzymywanie, charakterystyka oraz osadzanie kropek kwantowych z siarczku cynku domieszkowanego manganem (ZnS:Mn)</b> <u>Klaudia Cupiał, Tomasz Król, Svitlana Sovinska, Magdalena Oćwieja, Zbigniew Adamczyk, Julia Maciejewska-Prończuk, Maria Morga, Katarzyna Matras-Postołek</u>
<b>S12P14</b>	<b>Adsorption of organic dyes and metal cations on tailor made large chelating ligands grafted on SBA-15</b> <u>Marcelina Radko, Agnieszka Węgrzyn, Dorota Majda, Wojciech Stawiński, Dariusz Cież</u>
<b>S12P15</b>	<b>Organiczno-nieorganiczne hybrydowe ogniwa fotowoltaiczne zawierające jednowymiarowe nanokryształy</b> <u>Katarzyna Matras-Postołek, Adam Żaba, Elżbieta M. Nowak, Paweł Dąbczyński, Jakub Rysz</u>
<b>S12P16</b>	<b>Nanocząstki ZnS(Se) o pozytywnie naładowanej powierzchni</b> <u>Katarzyna Matras-Postołek, Svitlana Sovinska</u>
<b>S12P17</b>	<b>Modification of crystal habit in hydrotalcite-like materials</b> <u>Robert Karcz, Bogna D. Napruszewska, Anna Walczyk, Dorota Duraczyńska, Joanna Kryściak-Czerwenka, Ewa M. Serwicka</u>
<b>S12P18</b>	<b>Wpływ pH na produkty hydrolizy roztworów zawierających polikationy Ti i Zr</b> <u>Krzysztof Bahranowski, Agnieszka Klimek, Adam Gaweł, Katarzyna Górniak, Ewa M. Serwicka</u>
<b>S12P19</b>	<b>Polymer-derived SiOC amorphous layers for medical applications</b> <u>Magdalena Gawęda, Piotr Jeleń, Elżbieta Długoń, Maciej Sitarz</u>
<b>S12P20</b>	<b>Eradykacja biofilmów bakteryjnych za pomocą nowych hybrydowych materiałów polimerowych</b> <u>Maria Nowacka, Anna Rygała, Dorota Kręgiel, Anna Kowalewska</u>
<b>S12P21</b>	<b>Toksyczność dodatnio naładowanych nanocząstek srebra stabilizowanych wybranymi merkaptaminami oraz aminokwasami</b> <u>Anna Barbasz, Magdalena Oćwieja</u>
<b>S12P22</b>	<b>Physicochemical properties of layered clays-derived materials for removal of primary pollutants – design, application and regeneration</b> <u>Agnieszka Węgrzyn, Wojciech Stawiński, Karolina Grzybowska, Artur Błachowski, Kamila Komędera</u>
<b>S12P23</b>	<b>Nowe metody hydrofobizacji papieru</b> <u>Piotr Pospiech, Konrad Olejnik, Tomasz Ganicz, Agnieszka Wysocka-Robak, Urszula Mizerska, Krystyna Różga-Wijas, Jan Kurjata</u>
<b>S12P24</b>	<b>Badania mikroskopowe i spektroskopowe nanokompozytu tlenku grafenu z osadzonymi nanocząstkami siarczku molibdenu</b> <u>Marta Sołtys, Katarzyna Pytlakowska, Barbara Hachuła, Maciej Zubko, Michał Pilch, Wojciech A. Pisarski</u>

<b>S12P25</b>	<b>Modyfikacja trudnozapalna włókien polipropylenowych przy użyciu wodnego roztworu krzemianu sodu</b> <u>Janusz Fabia</u> , Andrzej Gawłowski, Tadeusz Graczyk, Jarosław Janicki, Anna Brzozowska-Stanuch
<b>S12P26</b>	<b>Żaroodporność folii stopu FeCrAl z powłoką HfO<sub>2</sub> otrzymaną metodą zol-żel</b> <u>Jacek G. Chęćmanowski</u> , Irena Szczygieł, Bogdan Szczygieł
<b>S12P27</b>	<b>Glass microresonators doped with silver nanoparticles and quantum dots for biosensing applications</b> <u>Mihai Suster</u> , Piotr Paszke, Dorota Pawlak
<b>S12P28</b>	<b>Wpływ domieszkowania spinelu litowo manganowego na rozpuszczalność manganu w ciekłym elektrolicie</b> <u>Weronika Marszałowicz</u> , Michał Świętosławski, Krzysztof Mech, Monika Bakierska, Marcin Molenda
<b>S12P29</b>	<b>Stabilność strukturalna LiMn<sub>2</sub>O<sub>3,99</sub>S<sub>0,01</sub> w warunkach otrzymywania przewodzących warstw węglowych CCL</b> <u>Krzystian Chudzik</u> , Michał Świętosławski, Marcelina Lis, Aneta Szymańska, Marcin Molenda
<b>S12P30</b>	<b>Wpływ temperatury pirolizy na właściwości elektrochemiczne i strukturalne nowych, materiałów węglowych do zastosowań w ogniwach Li-ion</b> <u>Marcelina Lis</u> , Monika Bakierska, Krzystian Chudzik, Joanna Pacek, Weronika Marszałowicz, Marcin Molenda

*notatki*

*notatki*

*notatki*